



УДК 612.112.94.017.1-063

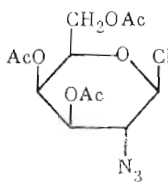
**МОНОСПЕЦИФИЧЕСКИЕ АНТИТЕЛА К ИСКУССТВЕННОМУ Т-АНТИГЕНУ, ХАРАКТЕРИСТИКА ИХ СПЕЦИФИЧНОСТИ И ПРИМЕНЕНИЕ ДЛЯ ИДЕНТИФИКАЦИИ Т-АНТИГЕННЫХ ДЕТЕРМИНАНТ НА ПОВЕРХНОСТИ КЛЕТОК***Медведев А. Э., Габриэлян Н. Д., Бовин Н. В., Хорлин А. Я.**Институт биоорганической химии им. М. М. Шемякина  
Академии наук СССР, Москва*

Осуществлен синтез искусственного антигена Томсена-Фриденрейха Gal $\beta$ 1-3GalNAc $\alpha$ 1-O(CH<sub>2</sub>)<sub>3</sub>NHCO(CH<sub>2</sub>)<sub>4</sub>-CO-BCA и с его помощью получены моноспецифические анти-Т-антитела. Подробно охарактеризована их специфичность. С помощью полученных антител идентифицированы углеводные цепи (Gal $\beta$ 1-3GalNAc $\alpha$ 1-)Ser/Thr в асialogликопротеине, на поверхности десалирированных эритроцитов человека и кортикальных тимоцитов мышей.

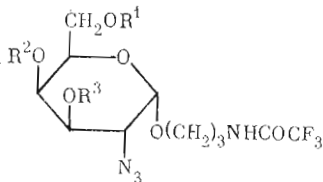
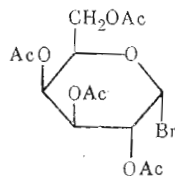
В настоящее время накоплено большое количество данных о наличии в составе мембран опухолевых клеток человека группоспецифических углеводных антигенов, отсутствующих в норме [1-4]. Примером могут служить антигены группы крови АВО, появляющиеся при опухолях желудочно-кишечного тракта [3], или антигены системы Льюиса, обнаруживаемые при опухолях поджелудочной железы [4]. Важным маркером опухолей человека является антиген Томсена-Фриденрейха (Т-антиген), обнаруживаемый у пациентов с карциномами молочной железы или легких [5, 6], а также при Т-лимфомах [7]. Иммунодоминантная группа Т-антигена представляет собой дисахаридный фрагмент Gal $\beta$ 1-3GalNAc $\alpha$ 1 (T $\alpha$ ), соединенный в гликопротеинах эритроцитов человека О-гликозидной связью с остатками серина или треонина [8]. T<sub>N</sub>- и Т-антигены — предшественники М- и N-антигенов в биосинтетическом пути T<sub>N</sub>→Т→N, M, в процессе которого происходит переход несалирированных структур (T<sub>N</sub> и Т) в сиалогликопротеины (N и M) [9] (табл. 1). Известно, что дисахарид Gal $\beta$ 1-3GalNAc является рецептором лектина арахиса *Arachis hypogaea* (PNA). Этот лектин распознает данную структуру в гликопротеинах и гликолипидах независимо от конфигурации галактозаминидной связи. Детерминанта для лектина арахиса входит в состав мембран кортикальных тимоцитов мышей и сиалируется в процессе их дифференцировки в иммунокомпетентные клетки [10].

Для изучения процессов дифференцировки и онкогенной трансформации необходимы чувствительные и высокоспецифические реагенты для детектирования углеводных антигенов на поверхности клеток. В качестве таковых перспективно применение моноспецифических антител, представляющих интерес как инструмент для исследования структуры и функции углеводных цепей гликоконъюгатов поверхности клетки. В задачу данной работы входило получение моноспецифических антител к синтетическому Т-антигену, характеристика их специфичности и применение для идентификации Т-антигенных детерминант на поверхности клеток.

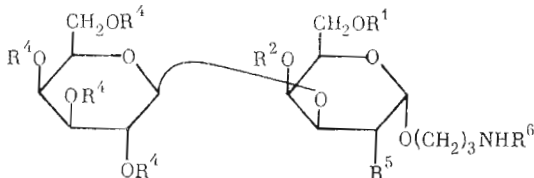
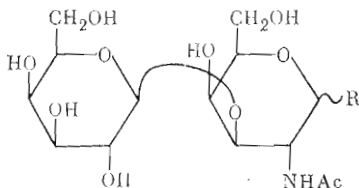
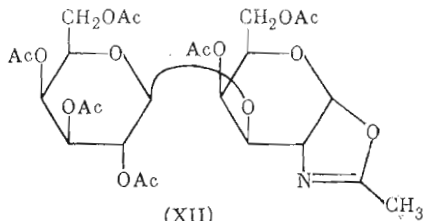
*Синтез антигенов и ингибиторов.* Синтез Т-антигена был осуществлен следующим образом. Гликозилирование 3-(трифторацетиламино)пропанола  $\beta$ -гликозилхлоридом (I) в условиях, описанных в работе [11], привело к  $\alpha$ -гликозиду (II) (схема). Последний дезацетилировали, превращали в бензилиденное производное (III), которое гликозилировали по Гельферику ацетобромталактозой (IV). В дисахариде (V) защитные группы были удалены последовательным действием уксусной кислоты и метилата патрия. Соединение (VI) гидрировали, затем N-ацетилировали уксусным



(I)

(II)  $R^1=R^2=R^3=Ac$ (III)  $R^1R^2=PhCH<, R^3=H$ 

(IV)

(V)  $R^1R^2=PhCH<, R^4=Ac, R^5=N_3, R^6=COCF_3$ (VI)  $R^1=R^2=R^4=H, R^5=N_3, R^6=COCF_3$ (VII)  $R^1=R^2=R^4=H, R^5=NHAc, R^6=COCF_3$ (VIII)  $R^1=R^2=R^4=R^6=H, R^5=NHAc$ (IX)  $R^1=R^2=R^4=H, R^5=NHAc, R^6=CO(CH_2)_4COOEt$  ( $T_{\alpha}$ -sp-OEt)(X)  $R^1=R^2=R^4=H, R^5=NHAc, R^6=CO(CH_2)_4CON_3$  ( $T_{\alpha}$ -sp- $N_3$ )(XI)  $R = \beta-O(CH_2)_3NHCOCF_3$ (XIII)  $R = OH$ (XIV)  $R = \alpha-OBzl$  ( $T_{\alpha}$ -OBzl)

(XII)

ангидридом; тем самым азидная группа была превращена в ацетамидную. В полученном таким образом гликозиде (VII) освобождали аминогруппу агликона («преспейсера») и далее амин (VIII) ацилировали N-оксисукцинимидным эфиром  $SuNOOC(CH_2)_4COOEt$ , как описано в работе [12]. Этиловый эфир (IX) превращали в азид (X), как это описано в работе [13]. Азид (X) конъюгировали с белками (бычьим сывороточным альбумином и цитохромом c) по методу [13]. Конъюгат с бычьим сывороточным альбумином ( $T_{\alpha}$ -sp-BCA) содержал 10% углеводов (по весу), что соответствовало 20 цепям на молекулу синтезированного неогликопротеина, который в дальнейшем использовался для иммунизации. Конъюгат с цитохромом c ( $T_{\alpha}$ -sp-ЦХС) содержал 14% углеводов, этот неогликопротеин использовался для изучения специфичности анти-T-антител. Конъюгат  $\beta$ -D-галактозы Gal $\beta$ 1-3GalNAc $\beta$ 1- с BCA ( $T_{\beta}$ -sp-BCA) получали из гликозида (XI) по схеме, идентичной описанной для  $\alpha$ -аналога (VII). Гликозид (XI) синтезировали оксазолиновым методом из 3-(трифторацетило)-пропанола и оксазолина (XII) с последующим дезацетилированием метилатом натрия; аналогичный синтез описан в работе [12].

Для изучения специфичности антител был также синтезирован  $HO(CH_2)_3NHCO(CH_2)_4CO$ -BCA (BCA-sp-H): 3-аминопропанол ацилировали N-оксисукцинимидным эфиром моноэтилового эфира адипиновой кислоты, далее получали гидразид, азид и конъюгат с BCA, как описано выше.

В качестве ингибиторов реакции анти-T-антител с  $T_{\alpha}$ -sp-BCA использовались соединения (XIII)–(XVI). Дисахарид (XIII), его  $\alpha$ -бензилгликозид (XIV), а также  $\alpha$ -бензил-N-ацетилгалактозаминид (XV) получены

## Структура углеводных цепей антигенов и ингибиторов

Соединение	Структура
I. Антигены	
T <sub>N</sub>	(GalNAcα1-)Ser/Thr
T	(Galβ1-3GalNAcα1-)Ser/Thr
N	$\begin{array}{c} \text{R} \qquad \qquad \text{R} \\   \qquad \qquad   \\ \text{Leu-Ser-Thr-Thr-Gly-(Glu)} \\   \\ \text{R} \end{array}$ $\begin{array}{c} \text{NeuAc} \\ 2 \\   \\ \alpha \\ 3 \\ \text{R-Gal}\beta 1-3\text{GalNAc}\alpha 1- \end{array}$
M	$\begin{array}{c} \text{R} \qquad \qquad \text{R} \\   \qquad \qquad   \\ \text{Ser-Ser-Thr-Thr-Gly-(Glu)} \\   \\ \text{R} \end{array}$ $\begin{array}{c} 6 \\   \\ \alpha \\ 2 \\ \text{NeuAc} \end{array}$

## II. Ингибиторы

## 1. Ингибиторы, представляющие собой фрагменты искусственного T-антигена

β-Метилгалактозид (XVI)	Galβ1-OMe
α-Бензил-N-ацетилгалактозаминид (XV)	GalNAcα1-OBzl
Дисахарид (XIII)	Galβ1-3GalNAc
BCA-sp*-H	HO(CH <sub>2</sub> ) <sub>3</sub> NHCO(CH <sub>2</sub> ) <sub>4</sub> CO-BCA
T <sub>α</sub> -sp-OEt (IX)	Galβ1-3GalNAcα1-O(CH <sub>2</sub> ) <sub>3</sub> NHCO(CH <sub>2</sub> ) <sub>4</sub> COOEt

## 2. Ингибиторы, в состав которых входит T-ганген, конъюгированный с другим типом спейсера или с другим агликоном

T <sub>α</sub> -sp-ЦХС	Galβ1-3GalNAcα1-O(CH <sub>2</sub> ) <sub>3</sub> NHCO(CH <sub>2</sub> ) <sub>4</sub> CO-ЦХС
T <sub>α</sub> -OBzl (XIV)	Galβ1-3GalNAcα1-OBzl

## 3. Природный гликопротеин, содержащий T-ганген

O-Цепи асиалофетулина	(Galβ1-3GalNAcα1-)Ser/Thr
-----------------------	---------------------------

\* sp — спейсерная группа -O(CH<sub>2</sub>)<sub>3</sub>NHCO(CH<sub>2</sub>)<sub>4</sub>CO-

согласно работе [14]. β-Метилгалактопиранозид (XVI) использовался коммерческий (Reanal). Строение синтезированных сахаридов подтверждено при помощи спектров <sup>1</sup>H-ЯМР, все соединения имеют корректные элементные анализы. Подробному описанию синтеза и характеристике названных и некоторых близких по структуре соединений будет посвящена отдельная публикация.

*Получение моноспецифических анти-T-антител.* Получить углеводспецифические антитела на искусственные группоспецифические углеводные антигены достаточно трудно из-за слабой иммуногенности углеводных структур такого типа [15]. Для решения этой задачи необходимо изыскивать эффективные схемы иммунизации. Нами применялась схема иммунизации, описанная в работе [16], с небольшими модификациями. Для стимуляции клонов плазматических клеток к выработке антител за 3 сут до иммунизации кроликам подкожно вводили неочищенный экстракт вакцины *Bordetella pertussis* и затем иммунизировали T<sub>α</sub>-sp-BCA с использованием полного адьюванта Фрейнда. После проведения трех иммунизаций в сыворотке иммунизированных кроликов появились антитела против BCA, и только после восьми иммунизаций в сыворотке обнаруживались углеводспецифические анти-T-антитела. Гипериммунную антисыворотку очищали от присутствовавших в ней антител на BCA, пропуская через колонку с иммуносорбентом сефароза-BCA, и затем выделяли моноспецифические антитела аффинной хроматографией на сефарозе-BCA-sp-T<sub>α</sub>. На всех этапах выделения степень очистки антител контролировали с помощью метода иммунодиффузии по Ухтерлони [17], используя в качестве антигенов BCA-sp-H и T<sub>α</sub>-sp-BCA.

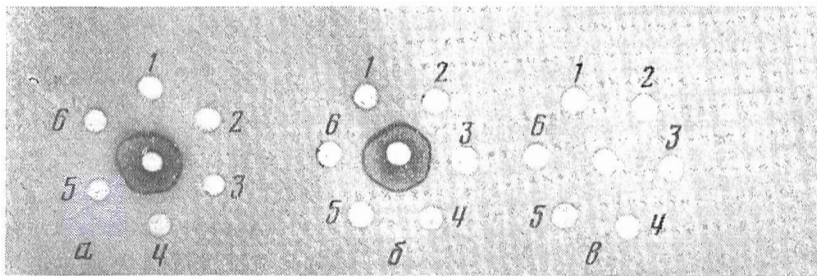


Рис. 1. Реакция иммунодиффузии по Ухтерлони исходной гипериммунной антисыворотки (560 мкг белка/лунка) (б) и моноспецифических анти-Т-антител (8 мкг/лунка) (а, в) с БСА-сп-Н (б, в) и  $T_{\alpha}$ -сп-БСА (а), используемых в качестве антигенов. Исходная концентрация антигенов 1 мг/мл. Объем пробы составляет 10 мкл/лунка. Центральные лунки — моноспецифические анти-Т-антитела (а, в) или исходная антисыворотка (б), периферические лунки (1—6) — серийные разведения антигенов в 0,15 М NaCl от 1:1 до 1:32

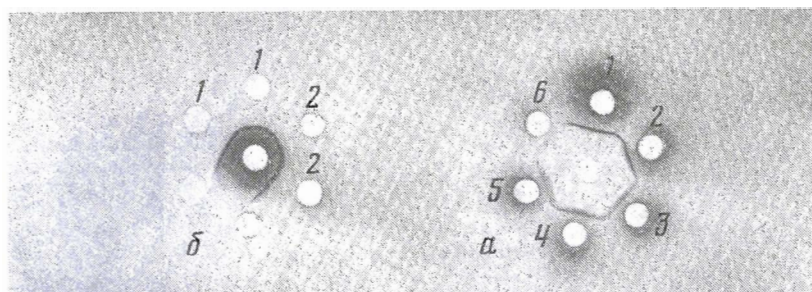


Рис. 2. Определение специфичности и титра моноспецифических анти-Т-антител с помощью метода иммунодиффузии по Ухтерлони. а — центральная лунка:  $T_{\alpha}$ -сп-БСА (2,5 мкг/лунка), периферические лунки: серийные разведения моноспецифических анти-Т-антител от 1:1 до 1:32 в 0,15 М NaCl (исходная концентрация антител 0,8 мг/мл); б — центральная лунка: моноспецифические анти-Т-антитела (2 мкг/лунка), периферические лунки: 1)  $T_{\alpha}$ -сп-БСА (2,5 мкг/лунка), 2)  $T_{\alpha}$  сп-ЦХС (2,5 мкг/лунка)

Антитела, выделенные с помощью аффинной хроматографии, образовывали линию преципитации с  $T_{\alpha}$ -сп-БСА (рис. 1а) и не реагировали с БСА-сп-Н (рис. 1в), в то время как исходная антисыворотка содержала антитела также и на БСА (рис. 1б). Титр антител по отношению к иммунизирующему антигену ( $T_{\alpha}$ -сп-БСА), определенный методом иммунодиффузии, равнялся 1:16 (рис. 2а).

Методом диск-электрофореза в полиакриламидном геле в присутствии додецилсульфата натрия [18] была установлена кажущаяся молекулярная масса выделенных антител (150 кДа). Электрофоретические данные позволили также отнести выделенные антитела к классу IgG (локализация в геле легких и тяжелых цепей у полученных антител совпадала с таковой у нормальных кроличьих IgG).

**Характеристика специфичности анти-Т-антител.** С помощью качественной реакции преципитации антител с веществами, обладающими общей углеводной детерминантой, конъюгированной с различными белками-носителями ( $T_{\alpha}$ -сп-БСА и  $T_{\alpha}$ -сп-ЦХС), было установлено, что выделенные антитела являются углеводспецифическими (линии преципитации не образовывали полного или частичного перекреста) (рис. 2б). Этот же вывод подтвердился при характеристике антител методом иммуноферментного анализа (ИФА) [19], с помощью которого показано, что уровень связывания антител с  $T_{\alpha}$ -сп-БСА и  $T_{\alpha}$ -сп-ЦХС значительно превышает их уровень связывания с соответствующими белковыми носителями (БСА и ЦХС); последний практически совпадал с контрольным (рис. 3). Из рис. 3 следует, что уровни связывания антител с  $T_{\alpha}$ -сп-БСА и с  $T_{\alpha}$ -сп-ЦХС очень

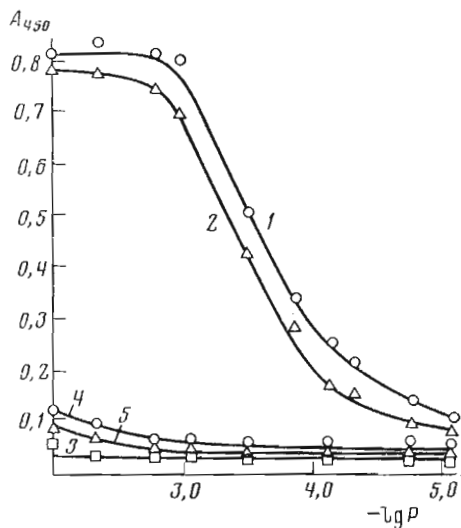


Рис. 3

Рис. 3. Анализ специфичности моноспецифических анти-Т-антител с помощью иммуноферментного метода. Р – разведение антител. Связывание антител с  $T_{\alpha}$ -sp-БСА (1),  $T_{\alpha}$ -sp-ЦХС (2), фетуином (3), БСА (4), ЦХС (5). Отложенные значения оптического поглощения соответствуют разнице значений в лунках, в которые в качестве контроля добавляли нормальный кроличий IgG

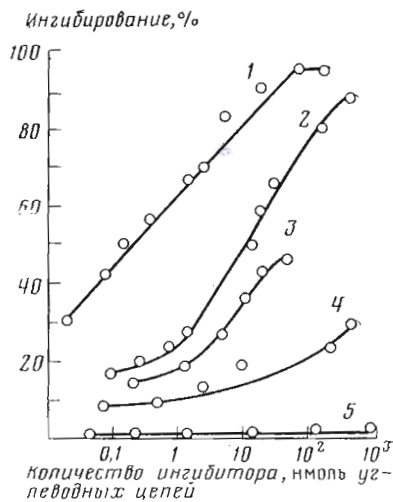


Рис. 4

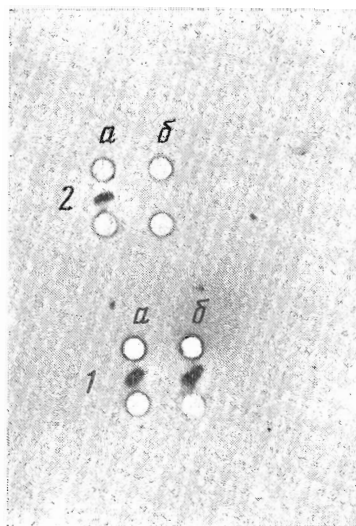
Рис. 4. Исследование методом ИФА ингибирования связывания моноспецифических анти-Т-антител с  $T_{\alpha}$  sp-БСА-ингибиторами:  $T_{\alpha}$ -sp-ЦХС (1),  $T_{\alpha}$ -sp-OEt (2), асиалофетуином (3),  $T_{\alpha}$ -OBzl (4), БСА-sp-H (5)

близки, что свидетельствует о высокой специфичности антител к фрагменту  $T_{\alpha}$ -sp, поэтому в дальнейших опытах по ингибированию связывания антиген – антитело различными аналогами искусственного Т-антигена в качестве положительного контроля использовался  $T_{\alpha}$ -sp-ЦХС. В качестве отрицательного контроля использовали нативный фетуин или БСА-sp-H. Титр антител, определенный с помощью ИФА, составлял 1 : 3200.

Для характеристики специфичности полученных антител необходимо было определить элементы структуры Т-антигена, существенные для связывания с антителами, а также оценить роль спейсера в этом процессе. С этой целью нами изучалось ингибирование связывания  $T_{\alpha}$ -sp-БСА с анти-Т-антителами нижеперечисленными ингибиторами методом ИФА. Все исследованные ингибиторы можно подразделить на три группы (табл. 1): 1) ингибиторы, представляющие собой фрагменты искусственного Т-антигена:  $\beta$ -метилгалактозид (XVI),  $\alpha$ -бензил-N-ацетилгалактозаминид (XV), дисахарид (XIII),  $T_{\alpha}$ -sp-OEt (IX), БСА-sp-H; 2) ингибиторы, в состав которых входит Т-гаптен, конъюгированный с другим типом спейсера или с другим агликоном:  $T_{\alpha}$ -sp-ЦХС,  $T_{\alpha}$ -OBzl (XIV); 3) природный гликопротеин, несущий  $T_{\alpha}$ -гаптенные группировки, – асиалофетуин.

В первой группе эффективным ингибитором оказался только  $T_{\alpha}$ -sp-OEt, тогда как H-sp-БСА, дисахарид (XIII) и гликозиды (XV) и (XVI) не обнаружили ингибирующей активности (рис. 4). Отсюда следовало, что в состав антигенной детерминанты исследованного нами антигена ( $T_{\alpha}$ -sp-БСА) входит как дисахаридное звено, так и часть структуры спейсера. Во второй группе активным ингибитором оказался  $T_{\alpha}$ -sp-ЦХС, а  $T_{\alpha}$ -OBzl показал меньшую, но отчетливую ингибирующую активность. Отсюда можно сделать вывод, что минимальной структурой, распознаваемой антителами, является фрагмент  $T_{\alpha}$ -OCH<sub>2</sub>, т. е. фрагмент природного Т-антигена. Это подтвердилось при исследовании асиалофетуина (третья группа). В состав молекул этого соединения входят три O-гликозидные цепи (Gal $\beta$ 1-3GalNAc $\alpha$ 1-)Ser/Thr и три N-гликозидные цепи сложного типа, содержащие дисахаридную структуру Gal $\beta$ 1-4GlcNAc, сильно отличающуюся

Рис. 5. Определение специфичности анти-Т-антител методом встречного иммуноэлектрофореза. 1 — реакция преципитации лектина арахиса с  $T_{\alpha}$ -sp-BCA (а) и  $T_{\beta}$ -sp-BCA (б); 2 — реакция преципитации моноспецифических анти-Т-антител с  $T_{\alpha}$ -sp-BCA (а) и  $T_{\beta}$ -sp-BCA (б)



щуюся по структуре от  $\alpha$ -дисахаридных остатков Т-антигена [20]. С помощью ингибиторного анализа установлено, что асиалофетуин оказывает выраженный эффект ингибирования на связывание антител с  $T_{\alpha}$ -sp-BCA (рис. 4).

Значительно большая эффективность  $T_{\alpha}$ -sp-ЦХС в качестве ингибитора по сравнению с  $T_{\alpha}$ -sp-ОЕт, вероятно, обусловлена иммобилизацией гаптенных группировок на полипептидной матрице. По-видимому, аналогичным образом можно объяснить и разницу в активностях асиалофетуина и  $T_{\alpha}$ -ОВзI. Используемые нами в качестве ингибиторов  $T_{\alpha}$ -sp-ЦХС,  $T_{\alpha}$ -sp-ОЕт, асиалофетуин и  $T_{\alpha}$ -ОВзI можно рассматривать как соединения, спейсеры которых различаются по своей структуре. Поскольку в указанном ряду соединений ингибиторная активность уменьшалась, нами был сделан вывод о влиянии модифицирования спейсерной структуры ингибитора на его эффект. Этот вывод хорошо согласуется с литературными данными [21].

Однако, несмотря на заметное влияние спейсера (или агликона) на связывание ингибиторов с активными центрами антител, дисахаридный остаток во всех случаях существенно необходим для проявления ингибиторной активности, причем, по-видимому, важна также и  $\alpha$ -конфигурация галактозаминидной связи гаптена. Правильность последнего была подтверждена сравнительным изучением взаимодействия с антителами искусственных антигенов  $T_{\alpha}$ -sp-BCA и Gal $\beta$ 1-3GalNAc $\beta$ 1-sp-BCA ( $T_{\beta}$ -sp-BCA), которые различались конфигурацией галактозаминидной связи гаптена.

Выше отмечалось, что дисахарид Gal $\beta$ 1-3GalNAc $\alpha$ 1- характерен для гликопротеинов, в то время как аномерная структура Gal $\beta$ 1-3GalNAc $\beta$ 1- для гликопротеинов нетипична и входит в состав гликофинголипидов [22]. Методом встречного иммуноэлектрофореза [23] было показано, что зону преципитации с антителами образует  $T_{\alpha}$ -sp-BCA, но не  $T_{\beta}$ -sp-BCA, в то время как с РНА взаимодействовали оба антигена (рис. 5).

Моноспецифические антитела, полученные к ганглиозиду асиало-GM $_1$ , иммунодоминантной группой которого является Gal $\beta$ 1-3GalNAc $\beta$ 1-, реагировали с терминальным дисахаридом Gal $\beta$ 1-3GalNAc $\alpha$ 1-, входящим в состав асиалогликофорина [24] и, следовательно, не различали конфигурацию гликозаминидной связи. Однако моноклональные антитела к природному Т-антигену практически не реагировали с  $\beta$ -связанным дисахаридом [19], что согласуется с нашими данными для моноспецифических анти-Т-антител. Таким образом, приведенная характеристика специфичности полученных нами антител позволяет считать их моноспецифическими антителами, которые способны с большой точностью узнавать Т-детерминанту (Gal $\beta$ 1-3GalNAc $\alpha$ 1-) Ser/Thr гликопротеинов.

Агглютинация десалирированных эритроцитов человека  
моноспецифическими анти-Т-антителами

Разведение антител	Количество антител на лунку, мкг	Степень агглютинации	
		НОЭ	Э
1 : 1	20	4+	0
1 : 2	10	4+	0
1 : 4	5	3+	0
1 : 8	2,5	2+	0
1 : 16	1,25	+	0
1 : 32	0,62	0	0

Примечание: НОЭ — эритроциты, обработанные нейраминидазой из холерного вибриона (Koch-Light, Англия); Э — нативные эритроциты.

Обнаружение иммунодетерминантной группы природного Т-антигена на поверхности клеток с помощью моноспецифических анти-Т-антител. Перспективы практического применения полученных нами антител во многом зависели от того, способны ли они реагировать с природным Т-антигеном на десалирированных эритроцитах человека [8]. Десалирирование эритроцитов проводили путем их обработки нейраминидазой холерного вибриона [19]. Используя этот метод, мы добились удаления 48% N-ацетилнейраминной кислоты с поверхности клеток, что хорошо согласуется с ранее опубликованными данными [19].

Взаимодействие десалирированных эритроцитов человека с полученными моноспецифическими анти-Т-антителами изучалось методом гемагглютинации [19]. Нами показано, что моноспецифические антитела агглютинировали десалирированные эритроциты и не реагировали с нативными эритроцитами (табл. 2). Выбранные в качестве контроля кроличьи IgG не реагировали ни с нативными, ни с десалирированными эритроцитами. Таким образом, полученные с помощью искусственного Т-антигена моноспецифические антитела реагировали и с природным антигеном Томсена-Фриденрейха.

Следующим этапом нашей работы было обнаружение Т-антигена на поверхности кортикальных тимоцитов мышей. В составе мембран этих клеток присутствуют детерминанты, распознаваемые PNA [10]. Выше упоминалось, что данный лектин реагирует как с иммунодоминантным дисахаридом Т-антигена, так и с соответствующим β-биозидом, входящим в состав гликосфинголипидов. Следовательно, на основании данных лектинного анализа невозможно было сделать однозначного вывода о том, распознаются ли на поверхности клеток оба эти типа гликоконъюгатов или какой-либо один из них. Для решения этой задачи нами применялись моноспецифические антитела. Популяции кортикальных тимоцитов получали, используя описанный ранее метод разделения клеток на кортикальные и медуллярные, основанный на их различиях в способности связываться с лектином арахиса [10]. Авторами цитируемой работы было установлено, что с лектином арахиса взаимодействуют преимущественно кортикальные тимоциты. Мы использовали процедуру фракционирования тимоцитов методом агглютинации-седиментации [10].

При добавлении лектина к популяции суммарных тимоцитов мышей линии СВА клетки распределялись на фракции: 1) неагглютинирующихся (7%), 2) частично агглютинирующихся (3%) и 3) полностью агглютинирующихся (кортикальных) тимоцитов (90%) (табл. 3). Клеточные фракции далее освобождали от лектина, инкубируя с галактозой, и использовали для дальнейших анализов. Содержание детерминант, узнаваемых лектином, в полученных фракциях клеток изучали методом флуоресцентного окрашивания тимоцитов флуоресцеинмеченым лектином арахиса [25]. Наибольшее содержание этих структур было обнаружено во фракции кортикальных тимоцитов (98%); в остальных фракциях клеток оно было

**Фракционирование суммарной популяции тимоцитов мышей  
линии СВА методом агглютинации-седиментации с использованием  
лектина арахиса (PNA)**

Фракция клеток	Количество клеток · 10 <sup>8</sup>	Жизнеспособность, %	Выход, %	Степень флуоресценции, %
Суммарные тимоциты	7,73	97	—	87
PNA <sup>-</sup> -тимоциты	0,54	92	7	1
PNA <sup>±</sup> -тимоциты	0,23	91	3	3
PNA <sup>+</sup> -тимоциты	6,96	88	90	98

*Примечание:* PNA<sup>-</sup>, PNA<sup>±</sup>, PNA<sup>+</sup>-тимоциты: неагглютинирующиеся, частично агглютинирующиеся и полностью агглютинирующиеся лектином арахиса (0,5 мг на пробу). Выход фракции рассчитывали по формуле

$$\text{выход} = (n_{\Phi} / n_{\Sigma}) \cdot 100,$$

где  $n_{\Phi}$  — число клеток данной фракции,  $n_{\Sigma}$  — количество суммарных тимоцитов. Процент жизнеспособности определяли методом суправитальной окраски клеток трипановой синью (Serva, ФРГ). Степень флуоресценции оценивалась как количество флуоресцирующих клеток, приходящихся на 100 клеток [25].

Таблица 4

**Агглютинация кортикальных тимоцитов моноспецифическими  
анти-T-антителами**

Фракция клеток	Количество клеток · 10 <sup>8</sup>	Жизнеспособность, %	Выход, %
Кортикальные тимоциты	6,96	93	—
AT <sup>-</sup> -тимоциты	0,68	91	10
AT <sup>±</sup> -тимоциты	1,53	89	22
AT <sup>+</sup> -тимоциты	4,59	88	66

*Примечание:* AT<sup>-</sup>, AT<sup>±</sup> и AT<sup>+</sup>-тимоциты: неагглютинирующиеся, дающие частичную агглютинацию и полностью агглютинирующиеся антителами (0,5 мг на пробу). Выход фракций рассчитывали по формуле

$$\text{выход} = (n_{\Phi} / n_{\Sigma}) \cdot 100,$$

где  $n_{\Phi}$  — число клеток данной фракции,  $n_{\Sigma}$  — количество кортикальных (агглютинирующихся PNA) тимоцитов.

Таблица 5

**Зависимость агглютинации кортикальных тимоцитов  
от количества добавленных моноспецифических  
анти-T-антител**

Количество добавленных анти-T-антител, мкг/пробу	Агглютированные корти- кальные тимоциты, %
500	66
250	60
125	38
63	12
31	7

*Примечание:* процент агглютированных клеток рассчитывали по формуле

$$(n_a / n_{\Sigma}) \cdot 100,$$

где  $n_a$  — число агглютированных клеток,  $n_{\Sigma}$  — количество кортикальных тимоцитов.

минимальным (1–3%) (табл. 3). Полученные результаты позволяют считать использованную концентрацию лектина близкой к насыщающей.

Обработка суспензии кортикальных тимоцитов моноспецифическими анти-T-антителами приводила лишь к их частичной агглютинации, в то время как лектин арахиса полностью агглютинировал эти клетки и клетки, не агглютинирующиеся антителами (табл. 4). Добавление в контрольных пробах кроличьих Ig G не приводило к агглютинации. В специальном опыте было показано, что использованная концентрация антител была близка к насыщающей (табл. 5).

Частичность агглютинации может объясняться более узкой специфичностью полученных анти-Т-антител по сравнению с РНА в распознавании детерминант на поверхности клеток. В предыдущем разделе отмечалось, что моноспецифические антитела реагируют только с  $\alpha$ -биозидными фрагментами. Поэтому полученные результаты позволяют предположить, что кортикальные тимоциты неоднородны по содержанию углеводных цепей гликопротеинов Gal $\beta$ 1-3GalNAc $\alpha$ 1- и гликосфинголипидов Gal $\beta$ 1-3GalNAc $\beta$ 1-. Такая неоднородность, как и ее функциональная значимость, нуждается в специальных подробных исследованиях. Описанные здесь моноспецифические антитела могут служить эффективным инструментом в такого рода исследованиях.

Таким образом, нами получены моноспецифические антитела к синтетическому Т-антигену. Эти антитела специфически реагируют с природным Т-антигеном и могут применяться для изучения процессов дифференцировки и опухолевой трансформации, которые сопровождаются появлением углеводных антигенов на поверхности клеток.

### Экспериментальная часть

Подробному описанию синтеза неогликопротеинов (Т $\alpha$ -sp-БСА, Т $\beta$ -sp-БСА, Т $\alpha$ -sp-ЦХС) и ингибиторов будет посвящена отдельная публикация.

*Иммунизация животных.* В работе использовали беспородных кроликов. Была выбрана схема иммунизации [16] с небольшими модификациями. За 3 сут до иммунизации кроликам подкожно вводили неочищенный экстракт вакцины *Bordetella pertussis* по 0,5 мл на животное. Иммунизацию осуществляли путем подкожного введения конъюгата Т $\alpha$ -sp-БСА в четыре точки на спине по 600 мкг на животное с использованием полного адьюванта Фрейнда. Иммунный ответ контролировали через 7 сут после каждой иммунизации. Кроликов реиммунизировали через 21 сут после предыдущей иммунизации. Сыворотку получали следующим методом: кровь, взятую из ушной вены кролика, без применения гемостабилизаторов инкубировали при 37° С в течение 30 мин, оставляли на 12 ч при 4° С, после чего удаляли сгусток центрифугированием.

*Получение моноспецифических анти-Т-антител.* Иммуносорбенты сефарозу-БСА (2,2 мг БСА/мл сефарозы) и сефарозу-БСА-sp-Т $\alpha$  (2,5 мг конъюгата/мл сефарозы) получали по методу [26]. Гипериммунную антисыворотку очищали от присутствовавших в ней антител на БСА, пропуская ее через колонку с иммуносорбентом сефарозой-БСА, после чего выделяли моноспецифические антитела методом аффинной хроматографии [27] на сефарозе-БСА-sp-Т $\alpha$ . Класс антител определяли диск-электрофорезом в полиакриламидном геле в присутствии додецилсульфата натрия в системе Лэммли [18], специфичность антител контролировали методом иммунодиффузии [17] и иммуноферментным методом [19].

*Характеристика специфичности антител методом ИФА.* Использовалась схема [19]. В лунки 96-луночных микроплейт для ИФА (Dunatech, Швейцария) вносили растворы антигенов (10 мкг/лунка) в 0,01 М Na-фосфатном буфере, содержащем 0,5 М NaCl (рН 7,2, буфер А), и оставляли на 12 ч при 4° С. Между каждой операцией плейты трижды промывали буфером А, содержащим 0,05% твин-20 (буфер Б). Для уменьшения неспецифической сорбции в лунки вносили по 100 мкл раствора человеческого сывороточного альбумина в буфере А (100 мкг/мл) и инкубировали 2 ч при 37° С. После этого добавляли серийные разведения моноспецифических антител в буфере Б (контролем служили аналогичные разведения кроличьего IgG) и оставляли на 3 ч при 37° С и встряхивании. После отмывки добавляли по 50 мкл раствора ослиных антител против кроличьих IgG, конъюгированных с пероксидазой хрена (Serva, ФРГ) по методу [27], в разведении 1:800 в буфере Б и инкубировали 2 ч при встряхивании (37° С). Затем в лунки вносили по 50 мкл субстрата для пероксидазы хрена (перед употреблением смешивали водный раствор 5-аминосалициловой кислоты (0,8 мг/мл) с 15 мМ водным раствором H<sub>2</sub>O<sub>2</sub> в соотношении 10:1, рН доводили до 6,0) и оставляли на 30 мин при 20° С. После этого

измеряли оптическое поглощение при 450 нм на спектрофотометре MR 600 Microplate Reader (Dynatech). Специфичность антител определяли, применяя метод ингибирования связывания антиген-антитело соответствующими ингибиторами сходной структуры. В лунки с сорбированным на них антигеном добавляли серийные разведения ингибиторов, после чего вносили антитела в разведении, дающем 50%-ное связывание. Степень ингибирования (%) рассчитывали по формуле

$$[A^1 - A^2/A^1] \cdot 100,$$

где  $A^1$  и  $A^2$  — поглощение при 450 нм в лунках без добавления и с добавлением ингибиторов.

*Получение асиалофетуина.* Десалирование фетуина (Sigma, США) проводили в течение 1 ч с помощью кислотного гидролиза в 0,1 н.  $H_2SO_4$  при 80°С (концентрация гликопротеина 10 мг/мл). Гидролизат нейтрализовали аммиаком и диализовали против буфера А.

*Ферментативное десалирование эритроцитов* проводили по методу [19]. Эритроциты человека, выделенные из эритроцитарной массы и отмытые в буфере А, рН 7,2, ресуспендировали до 5%-ной суспензии в этом же буфере. В опытные пробы ( $3 \cdot 10^8$  клеток) добавляли 100 ед. акт. нейраминидазы из холерного вибриона (Koch-Light, Англия) и инкубировали 60 мин при 37°С (в контрольных пробах фермент не добавляли). По окончании инкубации эритроциты трижды отмывали в буфере А, ресуспендировали до 1%-ной суспензии в буфере А, содержащем 5%-ную телячью эмбриональную сыворотку (Serva, ФРГ), и использовали для гемагглютинации. Сialовые кислоты определяли по методу Уоррена [28].

*Реакцию гемагглютинации* выполняли с использованием методики, взятой из работы [19]. В лунки 96-луночных планшетов для микротитрования (Linbro) вносили серийные разведения антител в буфере А, после чего добавляли по 50 мкл суспензии десалированных эритроцитов (в контроле добавляли нативные эритроциты) и оставляли на 2 ч при 4°С. По окончании инкубации результаты реакции учитывали визуально.

*Суммарную фракцию тимоцитов* мышей линии СВА получали по схеме из работы [10].

*Фракционирование тимоцитов* осуществляли методом агглютинации-седиментации с использованием лектина арахиса (Serva, ФРГ) [10]. Суммарную популяцию тимоцитов ( $10^8$  клеток) инкубировали 30 мин с 0,5 мг РНА в 0,2 мл среды 199 при 20°С. По окончании инкубации клетки насливали на 20%-ную телячью эмбриональную сыворотку (Serva, ФРГ) в среде 199 и оставляли на 30 мин при 20°С. Образующиеся в результате седиментации верхнюю (неагглютинирующиеся тимоциты), среднюю (частично агглютинирующиеся) и нижнюю (полностью агглютинирующиеся лектином клетки) фракции переносили в пробирки и отделяли центрифугированием. К нижней фракции тимоцитов, дающих агглютинацию с РНА, добавляли 2 мл 0,3 М раствора галактозы в среде 199 и инкубировали 30 мин при 20°С и встряхивании. По окончании инкубации все клеточные фракции трижды отмывали средой 199 и определяли количество клеток и процент их жизнеспособности.

*Агглютинация кортикальных тимоцитов моноспецифическими анти-Т-антителами.* К суспензии кортикальных (агглютинирующиеся РНА) тимоцитов добавляли моноспецифические антитела (на  $10^8$  клеток 0,5 мг антител, в контрольных пробах добавляли аналогичное количество кроличьих IgG) и инкубировали 30 мин при 20°С. Клетки насливали на 20%-ную телячью эмбриональную сыворотку и оставляли на 30 мин при 20°С, после чего отбирали отдельно верхнюю (неагглютинирующиеся), среднюю (частично агглютинирующиеся) и нижнюю (полностью агглютинирующиеся антителами тимоциты) фракции. К нижней фракции клеток, дающей агглютинацию с антителами, добавляли 2 мл раствора  $T_\alpha$ -sr-BCA в среде 199 (2 мг/мл) и инкубировали 30 мин при встряхивании (20°С). После окончания инкубации все фракции клеток отмывали в среде 199 и определяли количество клеток и процент их жизнеспособности. Зависимость степени агглютинации кортикальных тимоцитов от концент-

рации антител изучали, внося в пробирки с клетками ( $10^8$  тимоцитов/пробу) серийные разведения антител. Дальнейший анализ проводили по вышеописанной схеме.

#### ЛИТЕРАТУРА

1. Kabat E. A., Liao J., Shyong S., Osserman E. F. *J. Immunol.*, 1982, v. 128, № 2, p. 540-544.
2. Hakomori S. *Ann. Rev. Immunol.*, 1984, v. 2, № 2, p. 103-126.
3. Dabelstein E., Vedtofte P., Hakomori S., Young W. W., Jr. *Cancer Res.*, 1983, v. 43, № 3, p. 1451-1454.
4. Lemieux R. U., Baker D. A., Weinstein W. W., Switzer C. M. *Biochemistry*, 1981, v. 20, № 1, p. 199-205.
5. Springer G. F., Desai P. R., Banatwala I. *J. Nat. Cancer Inst.*, 1975, v. 54, № 2, p. 335-339.
6. Springer G. F., Desai P. R., Fry W. A., Goodale R. L., Shearen J. G., Scanlon E. F. *Cancer Detect. Preven.*, 1983, v. 6, p. 111-118.
7. Springer G. F., Chingsong-Popov R., Schirrmacher V., Desai P. R., Tegtmeier H. *J. Biol. Chem.*, 1983, v. 258, № 9, p. 5702-5706.
8. Uhlenbruch G., Pardoe G. I., Bird G. W. G. *Z. Immun. Allg. Klin. Immunol.*, 1969, B. 138, H. 5, S. 423-433.
9. Springer G. F., Desai P. R. *Biochem. and Biophys. Res. Commun.*, 1974, v. 61, № 2, p. 420-425.
10. Irle C., Piquet P.-F., Vassali P. *Cell Immunol.*, 1977, v. 31, № 242, p. 32-43.
11. Ferrari B., Pawia A. A. *Bioorganic Chemistry*, 1982, v. 11, № 1, p. 85-95.
12. Бовин Н. В., Иванова Н. А., Хорлин А. Я. *Биоорг. химия*, 1985, т. 11, № 5, с. 662-670.
13. Inman J. K., Merchant B., Claflin L., Tacey S. E. *Immunochem.*, 1973, v. 10, № 3, p. 165-174.
14. Flowers H. M., Shapiro D. J. *Org. Chem.*, 1965, v. 30, p. 2041-2043.
15. Bundle D. R., Gidney M. A., Kassman N., Rahman A. F. R. *J. Immunol.*, 1982, v. 129, № 2, p. 678-682.
16. Gray G. R. *Methods in Enzymol.*, 1978, v. L, part C, p. 155-160.
17. Фримель Х. *Иммунологические методы*. М.: Мир, 1979, с. 31-36.
18. Laemmli U. K., Favum M. J. *Mol. Biol.*, 1973, v. 80, № 4, p. 575-599.
19. Rahman A. F. R., Longenecker B. M. *J. Immunol.*, 1982, v. 129, № 5, p. 2021-2025.
20. Baenziger J. U., Fiete D. J. *J. Biol. Chem.*, 1979, v. 254, № 3, p. 789-795.
21. Lemieux R. U., Baker D. A., Bundle D. R. *Can. J. Biochem.*, 1977, v. 55, № 5, p. 507-512.
22. Springer G. F., Cantrell J. L., Desai P. R., Tegtmeier H. *Clin. Immun. and Immunopathol.*, 1982, v. 22, № 1, p. 29-35.
23. Фримель Х. *Иммунологические методы*. М.: Мир, 1979, с. 78-89.
24. Мотои Т., Сакакибара Н., Накадзима К., Шиномия Н., Нагаи Я. In: *Glycoconjugates/Eds Yamakawa T., Osawa T., Handa S.*, 1981, p. 93-96.
25. Wei-Feng C., Scollay R., Shortman K. *J. Immunol.*, 1982, v. 129, № 1, p. 18-24.
26. March S. C., Parich I., Cuatrecasas P. *Anal. Biochem.*, 1974, v. 60, № 1, p. 149-152.
27. Nakana P. K., Kawaoi A. *J. Histochem. and Cytochem.*, 1974, v. 22, № 12, p. 1084-1091.
28. Warren L. J. *J. Biol. Chem.*, 1959, v. 234, № 8, p. 1971-1975.

Поступила в редакцию  
13.XII.1984

### MONOSPECIFIC ANTIBODIES AGAINST ARTIFICIAL T-ANTIGEN, THEIR CHARACTERIZATION AND APPLICATION FOR IDENTIFICATION OF CELL SURFACE T-ANTIGENIC DETERMINANTS

MEDVEDEV A. É., GABRIELIAN N. D., BOVIN N. V., KHORLIN A. Ya.

*M. M. Shemyakin Institute of Bioorganic Chemistry, Academy of Sciences of the USSR, Moscow*

Monospecific antibodies directed to a Thomsen-Friedenreich antigen (T-antigen) were obtained using artificial antigen. T-antigen immunodominant  $\alpha$ -disaccharide Gal $\beta$ (1 $\rightarrow$ 3)GalNAc $\alpha$ 1-(T $\alpha$ ) and its  $\beta$ -anomer Gal $\beta$ (1 $\rightarrow$ 3)GalNAc $\beta$ 1-(T $\beta$ ) were bound to bovine serum albumin (BSA) and cytochrome C (CCC) through a spacer (sp=-(CH $_2$ ) $_3$ NHCO(CH $_2$ ) $_4$ CO-) by the azide method to give neoglycoproteins T $\alpha$ -sp-BSA, T $\alpha$ -sp-CCC and T $\beta$ -sp-BSA. Anti-T $\alpha$  antiserum was obtained by immunization of rabbits with T $\alpha$ -sp-BSA and then purified by sequential affinity chromatography on BSA-Sepharose and T $\alpha$ -sp-BSA-Sepharose to yield monospecific anti-T IgG antibodies. As elucidated by ELISA method, binding T $\alpha$ -sp-BSA to the antibodies was

inhibited by  $T_{\alpha}$ -sp-CCC,  $T_{\alpha}$ -sp-OEt, asialofetuin,  $T_{\alpha}$ -OBzl, the activity of the inhibitors decreasing in the above order. Methyl  $\beta$ -galactopyranoside, benzyl 2-acetamido-2-deoxy- $\alpha$ -D-galactopyranoside, disaccharide Gal $\beta$ (1 $\rightarrow$ 3)GalNAc and H-sp-BSA were inactive. The inhibitory analysis suggests that both disaccharide moiety  $T_{\alpha}$ - and a definite part of the spacer are important for the binding and that  $T_{\alpha}$ -OCH<sub>2</sub> seems to be the minimal recognized structure. In immunoprecipitation tests the antibodies react with  $T_{\alpha}$ -sp-BSA but not with  $T_{\beta}$ -sp-BSA, whereas peanut (*Arachis hypogaea*) lectin (PNL) precipitated both  $T_{\alpha}$ - and  $T_{\beta}$ -sp-BSA. These data suggest the significance of the  $\alpha$ -galactosaminide bond for the antibody recognition. Desialylated human erythrocytes (natural T-antigen) were effectively agglutinated with the antibodies. Murine cortical thymocytes (obtained by agglutination-sedimentation method using PNL) were agglutinated with the antibodies only partially (67%), while these cells as well as the cells unaffected by the antibodies were completely agglutinated with PNL. These results indicate to different contents of glycoproteins ( $T_{\alpha}$ ) and glycolipids ( $T_{\beta}$ ) oligosaccharide determinants on the surface of cortical thymocytes species.